

日本大学理工学部 王員 栗津清蔵

" " ○近藤勉

§.1. まえがき

図-1の円形断面水路の定流は水路自身とその環境により3つに分類される。

第1報では上述の事柄を理論的に考察し、第2報では3つの内の1つ(a)水路全体が管水路となる場合を理論式を基にして実験的に考察した。

本報では、第2報の流出口の水深 h_{end} に対する実験結果が従来の結果と異なった点があるので再確認の目的で追試を行った。

また、(b)水路に管水路と開水路が共存する場合の水面形について研究した。

§.2. 水路に管水路と開水路が共存する場合の水面形について

この場合の水面形は約 $h_0 > 10 \sim 20$ K なると図-1のようになる。

最小水深 h_1 および最大水深 h_2 を求めるために、0～I断面間とI～II断面間に運動量方程式を適用する。ただし、各断面の水压は静水圧分布しているものとする。

また、水路こう配による断面間の水の重量の流れ方向の分力は $\ll 0$ であるので無視する。

(i) h_1 について

まず、運動量方程式は

$$P_o - P_i = w^2/g \cdot (V_i - V_o) \quad (1)$$

ここで、

$$P_o = w\pi/8 \cdot D^3, \quad V_o = 4Q/\pi D^2$$

$$P_i = w \left(\frac{2}{3} \cdot \frac{\sin^3 \alpha_i}{\alpha_i - \sin \alpha_i \cos \alpha_i} - \cos \alpha_i \right)$$

$$\times (\alpha_i - \sin \alpha_i \cos \alpha_i) \cdot \frac{D^3}{8}$$

$$V_i = \frac{4Q}{(\alpha_i - \sin \alpha_i \cos \alpha_i) D^2}$$

α : 水面中に対する中心角の $1/2$

また、

$$M = \alpha - \sin \alpha \cos \alpha$$

$$K = \frac{2}{3} \cdot \frac{\sin^3 \alpha}{\alpha - \sin \alpha \cos \alpha} - \cos \alpha$$

$$A = \pi - MK, \quad B = 32(M_1 - M_2), \quad M_2 = C$$

とすると、(1)式は

$$\frac{Q^2}{8D^5} = \frac{A_1}{B_1} = C_1 \quad (2)$$

(2)式により h_1, h_2 を検討するのであるが、実験

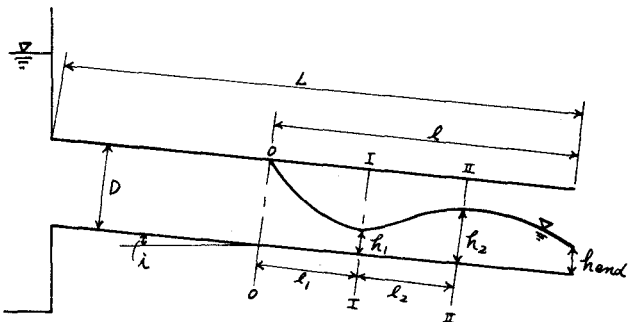


图-1

結果に合うようにするために右辺に係数 m を乗じて、

$$\frac{Q^2}{8D^5} = m C_1 \quad (2')$$

この m を実験により調べる。

(ii) h_2 について

(i)と同様にI～II断面間に運動量方程式を適用すると、

$$M_1 K_1 \frac{D^3}{8} + \frac{4Q^2}{8M_1 D^2} = M_2 K_2 \frac{D^3}{8} + \frac{4Q^2}{8M_2 D^2}$$

これより、

$$\frac{Q^2}{8D^5} = \frac{1}{32} \cdot \frac{M_1^2 K_1 M_2 / M_1 (M_2 / M_1 \cdot K_2 / K_1 - 1)}{M_2 / M_1 - 1} \quad (3)$$

(3)式の左辺はフルード数を代表する変数である

(3) 式は実用的ではない
ので、この式の近似式を導出する。この式中に含まれる変数は

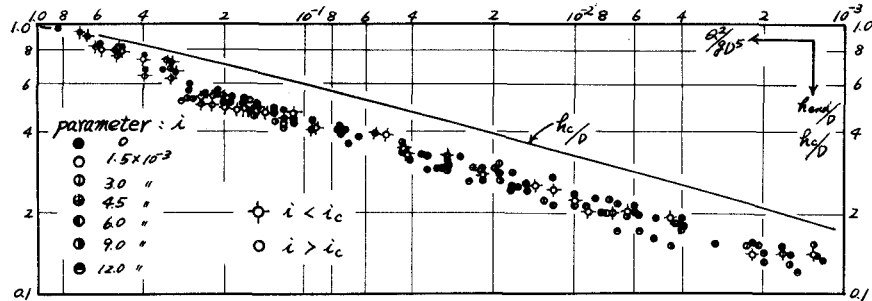


図 - 2

h_2/h_1 であるから、 $h_2/h_1 = F(h_1/h_0, h_1/h_0)$
とおき、次の近似式を得た。

$$\frac{h_2}{h_1} = 1.13 \left(\frac{h_1}{D} \right)^{-1.78} \left(\frac{h_1^2}{g D^5} \right)^{0.468} \quad (4)$$

$$0.12 \leq \frac{h_1}{D} \leq 0.75$$

この場合も実験結果と合うように右辺に係数を乗じて、これを調べる。

$$\frac{h_2}{h_1} = n \left\{ 1.13 \left(\frac{h_1}{D} \right)^{-1.78} \left(\frac{h_1^2}{g D^5} \right)^{0.468} \right\} \quad (4')$$

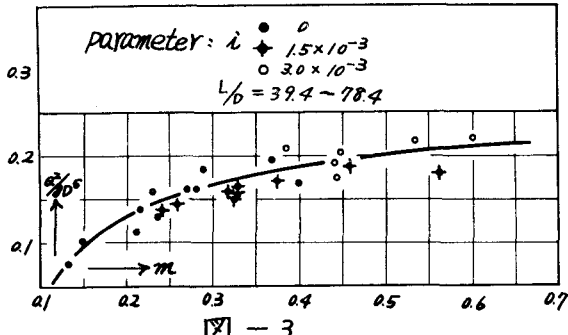


図 - 3

5.3. 実験装置とその方法

大体は前報と同じであるが $l_0 = 39.4, 55.1, 78.4$ とし、 $i = 0, 1.5 \times 10^{-3}, 3.0 \times 10^{-3}, 4.5 \times 10^{-3}, 6.0 \times 10^{-3}, 9.0 \times 10^{-3}, 1.2 \times 10^{-2}$ として実験を行った。

5.4. 実験結果とその批判

(i) h_{end} について

実験より図-2を得た。この実験値は a. 1 の(a), (b)の状態の値が含まれている、ま

た水路こう配が限界こう配をより大きくなつた場合も含まれている。この図より h_{end}/h_0 は多少にとも関係しているようであるが、この範囲の i に對し h_{end}/h_0 だけの函数であると言えよう。この一連の報文は $i < i_c$ を対象としているのでこの程度までの i について検討すれば十分であろう。

この結果、水面追跡を行う場合の出発点と h_{end} を限界水深 h_0 と仮定して進める方法のある程度の妥当性が知れよう。(第1報参照)

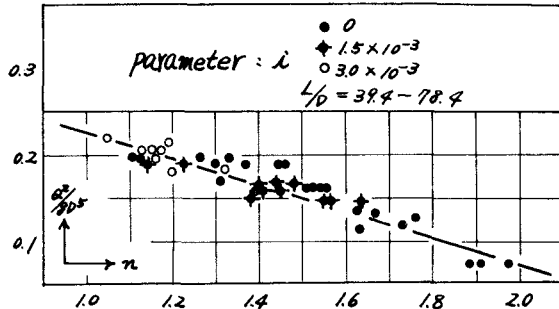


図 - 4

(ii) h_1 および h_{end} について

係数 m に對する図-3を得た。これを式化すると

$$m = 0.266 - 4.43 \left(\frac{h_1^2}{g D^5} \right) + 28.6 \left(\frac{h_1^2}{g D^5} \right)^2 \quad (5)$$

また、係数 n に對する図-4を得、これを式化して、

$$n = -0.766 \left(\frac{h_1^2}{g D^5} \right) + 2.75 \quad (6)$$

$h_1 = h_{end} = 1$ であった。 l が大きくなると山となるが 2 ヶ所以上でき、その距離は下流に行くにつれて大きくなる。この場合を(4)式で $h_2 \rightarrow h_1, h_3 \rightarrow h_2$ として計算を進めればよい。